

07; 10; 11; 12

© 1993

ИОННАЯ ЭМИССИЯ

ПОД ДЕЙСТВИЕМ ЛАЗЕРНОГО ИЗЛУЧЕНИЯ
ДЛИТЕЛЬНОСТЬЮ ДЕСЯТКИ МИКРОСЕКУНД

С. В. А в д е е в, С. М. Б у л а е в,
 А. Н. Г а л а е в, А. Н. О б л и з и н,
 С. М. С и л ь н о в, Б. П. Я ц е н к о

До настоящего времени проведено значительное количество экспериментов по изучению как параметров лазерной плазмы, так и характеристик формируемых ионных пучков при взаимодействии излучения CO_2 лазера с твердым телом [1-10]. При этом, как правило, длительность лазерного импульса не превышала нескольких микросекунд. В данной работе представлены результаты исследований ионного компонента лазерной плазмы, образованной под действием лазерного излучения длительностью десятки микросекунд.

В экспериментах использовался электроионизационный CO_2 лазер ($t_u = 20-45$ мкс, $E_{\text{laz}} < 40$ Дж) [11]. Лазерное излучение в камере взаимодействия фокусировалось на мишень ($d_m > 0.5$ мм). При этом максимальная плотность потока f_{max} составляла 10^9 Вт/см² (в пичке). Ионная эмиссия изучалась с помощью время-пролетной методики. Рабочий вакуум в системе ($\rho = 5 \cdot 10^{-6}$ Тор) обеспечивал бесстолкновительный пролет продуктов разлета лазерно-плазменного факела (ЛПФ) до электростатического анализатора ($L = 300$ см). Ионный сигнал регистрировался вторично-электронным умножителем ВЭУ-2А, оцифровывался и обрабатывался на персональном компьютере.

При исследовании продуктов разлета ЛПФ зарегистрированы многозарядные ионы (МЗИ): $Z_{\text{max}} = 8$ для алюминия, $Z_{\text{max}} = 10$ для меди, $Z_{\text{max}} = 11$ для tantalа. По осцилограммам, полученным с выхода электростатического анализатора, установлено, что длительность ионного сигнала, которая зависит от времени ионной эмиссии, для ионов с $Z = 1\dots 2$ споставима с длительностью лазерного импульса. Для более высокозарядных ионов она примерно совпадает со значениями, полученными ранее для короткого импульса CO_2 лазера ($t_u = 1$ мкс). Сравнение параметров ионной эмиссии при $t_u = 40$ и 20 мкс показывает, что максимальный заряд регистрируемых ионов в обоих случаях одинаков ($Z_{\text{max}} = 4$ для углерода), количества высокозарядных ($Z > 3$) ионов, эмиттируемых в апертуру анализирующей аппаратуры, примерно равны. При воздействии более длинного лазерного импульса максимумы энергетических распределений сдвигаются в низкоэнергетическую область, а количество низкозарядных частиц возрастает вдвое.

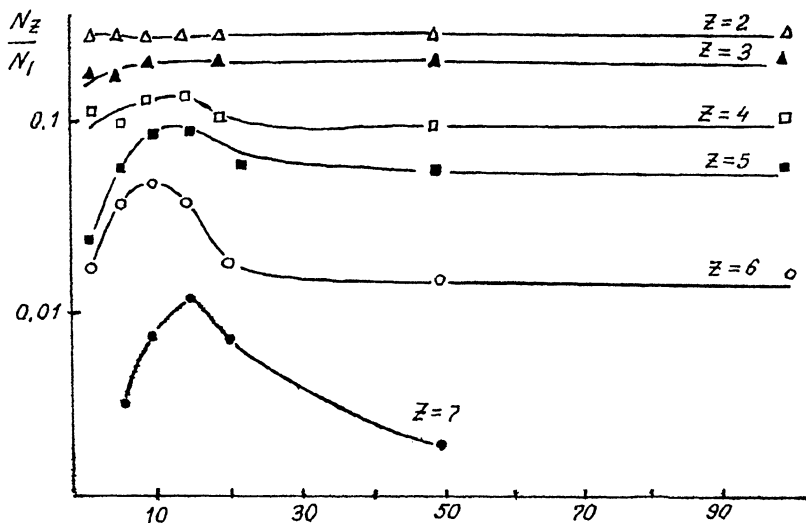


Рис. 1. Отношение количества ионов заряда Z к числу однозарядных ионов N_z/N_1 в зависимости от толщины алюминиевой фольги.

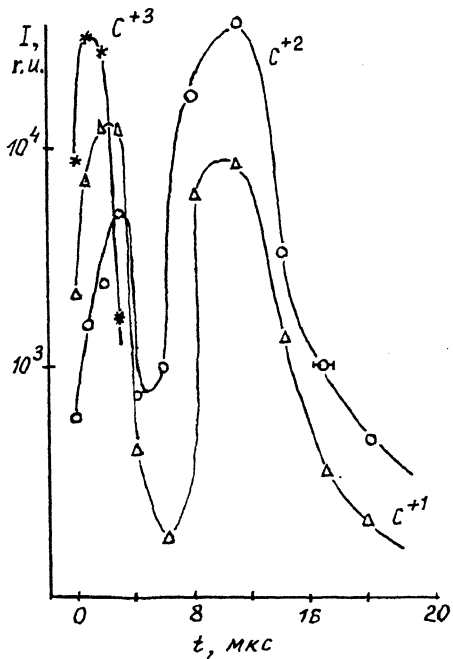


Рис. 2. Зависимость интенсивности спектральных линий ионов углерода ($\lambda = 5891 \text{ \AA}$ - C^{+3} , $\lambda = 5695 \text{ \AA}$ - C^{+2} , $\lambda = 5812 \text{ \AA}$ - C^{+1}) от времени ($t = 0$ соответствует началу лазерного импульса).

Проведены эксперименты по взаимодействию лазерного излучения с фольгами, когда за счет изменения толщины мишени можно было варьировать долю лазерного импульса, участвующую в формировании ионного пучка. На рис. 1 изображена зависимость отношения количества ионов заряда Z к числу однозарядных ионов N_z/N_1 , как функция толщины фольги. Наличие максимума отношения N_z/N_1 указывает на то, что в процессе образования МЗИ эффективно используется лишь часть лазерного импульса.

С помощью оптического спектроанализатора *WP-4* выполнены спектроскопические исследования ЛПФ в видимом диапазоне. Спектроанализатор работал в стробоскопическом режиме ($t_{стр} = 0.15 \dots 1.0$ мкс), меняя задержку между запуском лазера и считывающим импульсом видикона, изучалось временное поведение интенсивностей спектральных линий ($\lambda = 5891 \text{ \AA} - C^{+1}$, $\lambda = 5695 \text{ \AA} - C^{+2}$, $\lambda = 5812 \text{ \AA} - C^{+3}$). Результаты экспериментов приведены на рис. 2. Для иона C^{+3} линия наблюдается лишь в течение нескольких микросекунд после начала лазерного импульса, а для ионов C^{+1} и C^{+2} длительность свечения составляет десятки микросекунд.

Таким образом, проведенные эксперименты показали, что при взаимодействии лазерного излучения длительностью десятки микросекунд с веществом происходит образование МЗИ, причем за это ответственен начальный участок лазерного импульса (несколько микросекунд). Остальная часть связана с образованием низкозарядных ионов $Z = 1 \dots 2$.

Список литературы

- [1] Bromage G.E. et al. // J. Phys. O.: Appl. Phys. 1976. V. 9. P. 33.
- [2] Басов Н.Г. и др. // Письма в ЖТФ, 1975. Т. 1. В. 24. С. 1105.
- [3] Martineau J. et al. // Opt. Com. 1974. V. 12. P. 376.
- [4] Heller A.W. // J. Appl. Phys. 1975. V. 46. P. 2464.
- [5] Tonon G., Raveau M. // Plasma Physics. 1973. V. 15. P. 871.
- [6] Denuss S. et al. // J. Technical Physics. 1977. V. 18. P. 151.
- [7] Бархударов Э.М. и др. // Физика плазмы. Т. 10. В. 4. С. 757.
- [8] Ogahibara M. et al. // Jap. J. Appl. Phys. 1986. V. 25. N 5. P. 722.
- [9] Lachambre J.L., Neufeld C.R. // Phys. Fluids. 1981. V. 24. N 12. P. 2336.

- [10] Гапонов С.В., Стриковский М.Д. // ЖТФ.
1982. Т. 52. В. 9. С. 1838.
- [11] Баранов Г.А. и др. // Тез. докл. на III Всесоюз.
конф. „Оптика лазеров”. Ленинград, 4–8 января 1982 г.

Поступило в Редакцию
13 апреля 1993 г.